

# Visualizing Fatou and Julia sets

Marcel Stoklasa

10. Juni 2021

## **1 Einleitung**

## 2 Orbits

### 2.1 Iteration

Für eine Funktion  $F$  schreiben wir die zweite Iteration dieser Funktion als  $F^2(z) := F(F(z))$  und folglich die  $n$ -te Iteration als  $F^n(z)$ .

### 2.2 Beispiel: $f_{-2}(z) = z^2 - 2$

$$f_{-2}(z) = z^2 - 2$$

$$f_{-2}^2(z) = (z^2 - 2)^2 - 2 = z^4 - 4z^2 + 2$$

$$f_{-2}^3(z) = ((z^2 - 2)^2 - 2)^2 - 2 = z^8 - 8z^6 + 20z^4 - 16z^2 + 2$$

·  
·  
·

### 2.3 Orbit

Für ein gegebenes  $z_0 \in \mathbb{C}$  definieren wir den Orbit von  $z_0$  unter  $F$ , als die Folge der Punkte  $z_0, z_1 = F(z_0), z_2 = F^2(z_0), \dots$ . Dabei ist  $z_0$  der *Keim* des Orbits.

### 2.4 Beispiel: $f_{-2}(z) = z^2 - 2$ mit $z_0 = 0.1$

$$z_0 = 0.1$$

$$z_1 = -1.99$$

$$z_2 = 1.9601$$

$$z_3 = 1.84199201$$

.

.

.

## 2.5 Typen von Orbits

### 2.5.1 Fixpunkte (Konstante Orbits)

Ein Punkt  $z_0 \in \mathbb{C}$  nennen wir einen Fixpunkt für die Funktion  $F$ , wenn er die Gleichung  $F(z_0) = z_0$  erfüllt. Der Orbit für diesen Punkt ist offensichtlich die konstante Folge  $z_0, z_0, z_0, \dots$

### 2.5.2 Beispiel: Fixpunkte

### 2.5.3 Periodische Orbits

Ein Orbit heißt periodisch, wenn für  $F$  und  $z_0$  ein  $n > 0$  existiert, sodass  $F^n(z_0) = z_0$ . Somit ergibt sich für den Orbit diese Folge  $z_0, z_1, \dots, z_{n-1}, z_0, z_1, \dots$ , daraus folgt sofort, dass die Orbits für alle  $z_i$  mit  $i \in \{0, 1, \dots, n-2, n-1\}$  periodisch mit Periodenlänge  $n$  sind.

### 2.5.4 Beispiel: Periodische Orbits

### 2.5.5 Fast Fixpunkte (Fast Konstante Orbits) bzw. Fast Periodische Orbits

Ein Punkt  $z_0 \in \mathbb{C}$  ist ein fast Fixpunkt bzw. hat einen fast periodischen Orbit, wenn ein  $n \in \mathbb{N}$  existiert, sodass  $z_n$  ein Fixpunkt ist bzw.  $z_n$  einen periodischen Orbit hat.

### 2.5.6 Chaotische Orbits

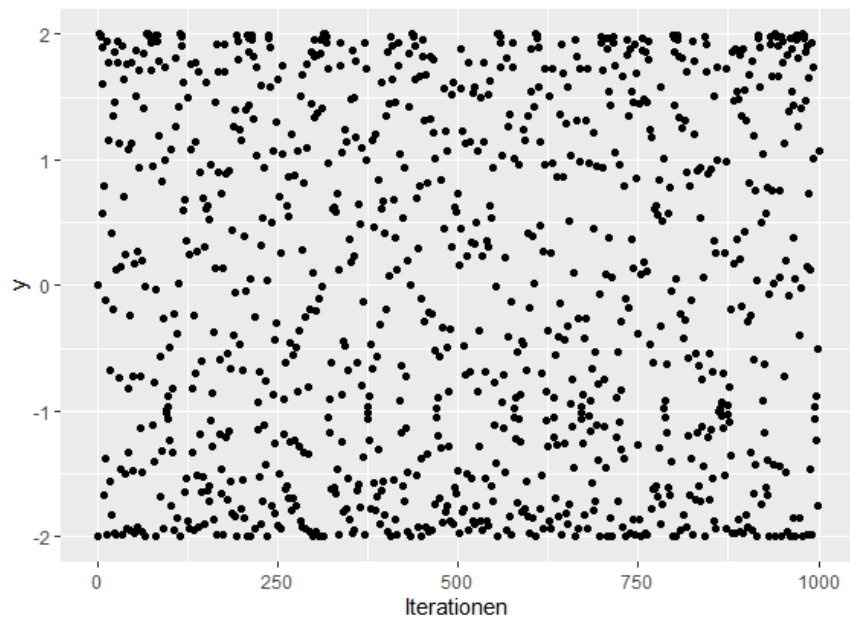


Abbildung 1: Chaotischer Orbit

## 2.6 Numerische Probleme

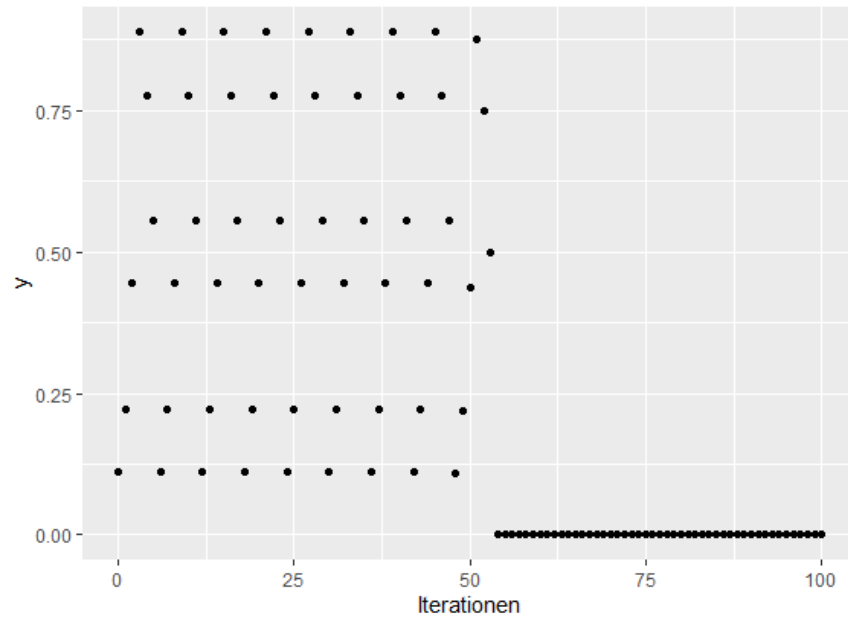


Abbildung 2: numerische Probleme

Orbit von  $x_0 = \frac{1}{9}$  ist  $\frac{1}{9}, \frac{2}{9}, \frac{4}{9}, \frac{8}{9}, \frac{7}{9}, \frac{5}{9}, \frac{1}{9}, \dots$  unter der Verdopplung-Funktion.

### 3 Fatou und Julia Menge

#### 3.1 Supersensitive Orbits

Der Orbit eines Punktes  $z$  unter  $f_c$  ist supersensitiv, wenn jede offene Umgebung  $U_z$  die folgende Eigenschaft hat:

$$|\mathbb{C} - \bigcup_{n=1}^{\infty} f_c^n(U_z)| \leq 1$$

#### 3.2 Julia Menge als Menge supersensitiver Orbits

Ein Punkt  $z$  gehört für eine Funktion  $f_c$  zu der Julia Menge  $J_c := J(f_c)$ , wenn er unter  $f_c$  ein Punkt mit supersensitivem Orbit ist.

#### 3.3 Fatou Menge

Die Fatou Menge für eine Funktion  $f_c$  ist gegeben als  $F_c := F(f_c) = \mathbb{C} - J(f_c)$ .

#### 3.4 Beispiel: $f_0(z) = z^2$

Um die Funktion  $f_0$  leichter untersuchen zu können, benutzen für  $z_0 \in \mathbb{C}$  die Darstellung  $z_0 = r_0 e^{i\theta_0}$ , mit  $r_0 = |z_0|$  und geeignetem  $\theta_0 \in (0, 2\pi]$ . Dann ergibt sich für den Orbit von  $z_0$ :

$$\begin{aligned} z_0 &= r_0 e^{i\theta_0} \\ z_1 &= r_0^2 e^{2i\theta_0} \\ z_2 &= r_0^4 e^{4i\theta_0} \\ &\cdot \\ &\cdot \\ &\cdot \\ z_n &= r_0^{2^n} e^{2^n i\theta_0} \\ &\cdot \\ &\cdot \\ &\cdot \end{aligned}$$



Daraus ergeben sich drei Möglichkeiten für das Verhalten für den Orbit von  $z_0$ .

### 3.5 Beschränkte Orbits

Der Orbit eines Punktes  $z$  unter  $f_c$  ist beschränkt, wenn ein  $K \in \mathbb{R}$  existiert, sodass  $|f_c^n(z)| < K$  für alle  $n \in \mathbb{N}$ .

### 3.6 Die Ausgefüllte Julia Menge

Ein Punkt  $z$  gehört unter der Funktion  $f_c$  zur ausgefüllten Julia Menge  $K_c := K(f_c)$ , wenn sein Orbit beschränkt ist.

#### 3.6.1 Bemerkung

### 3.7 Julia Menge als Rand

Wir können die Julia Menge auch als Rand der ausgefüllten Julia Menge definieren, also  $J_c := \partial K_c$ . Wir werden in einem anderen Vortrag sehen, dass die beiden Definitionen für die Julia Menge äquivalent sind.

### 3.8 Beispiel: $f_{-2}(z) = z^2 - 2$

#### 3.8.1 Konjugierte Dynamische Systeme

Es seien  $X$  und  $Y$  zwei metrische Räume und  $f : X \rightarrow X$  sowie  $g : Y \rightarrow Y$  zwei stetige Abbildungen, dann heißen  $f$  und  $g$  konjugiert, wenn es einen Homöomorphismus  $H : X \rightarrow Y$  gibt, sodass:

$$h \circ f = g \circ h$$

Diese Abbildung erhält den Typ eines Orbits.

#### 3.8.2 Beweis: $J_{-2} = [-2, 2]$

Um die Julia Menge für diese Funktion zu bestimmen, zeigen wir zuerst, dass  $f_{-2}$  auf  $\mathbb{C} - [-2, 2]$  konjugiert zu  $f_0$  auf  $R := \{z \mid 1 < |z|\}$  ist und somit, dass der Orbit für alle Punkte, die nicht in  $[-2, 2]$  unter  $f_{-2}$  nicht beschränkt ist. Dafür definieren wir uns eine Funktion  $H(z) := z + \frac{1}{z}$  auf  $R$ .

### 3.9 Bemerkung

## 4 Algorithmus Ausgefüllte Julia Menge

### 4.1 Escape-Kriterium

Ist  $|z| > \max\{|c|, 2\}$ , dann  $|f_c^n(z)| \rightarrow \infty$  für  $n \rightarrow \infty$ .

## 4.2 Algorithmus

Wir wählen eine maximale Anzahl an Iterationen  $N$  und geben uns ein Gitter  $\Gamma$  an Punkten vor. Für jeden Punkt  $z \in \Gamma$  aus dem Gitter berechnen wir die ersten  $N$  Punkte aus dem Orbit, wenn gilt  $|f_c^n(z)| > \max\{|c|, 2\}$  färben wir den Punkt weiß und wenn gilt  $|f_c^n(z)| \leq \max\{|c|, 2\}$  färben wir den Punkt schwarz. Die schwarzen Punkte geben uns dann eine Approximation der ausgefüllten Julia Menge.

### 4.3 Beispiele

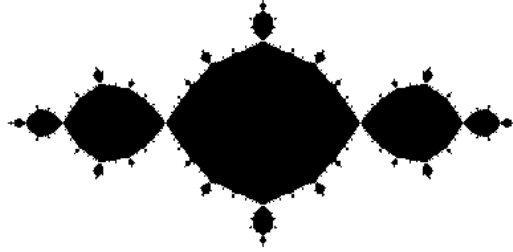


Abbildung 3:  $c = -1$

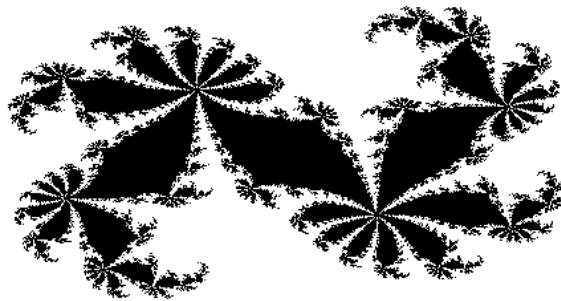


Abbildung 4:  $c = 0.360284 + 0.100376i$



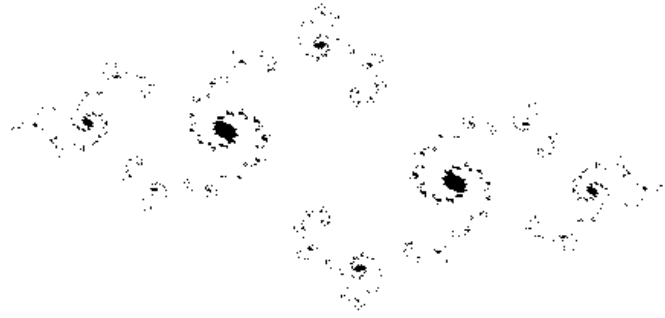


Abbildung 5:  $c = -0.8 + 0.3i$

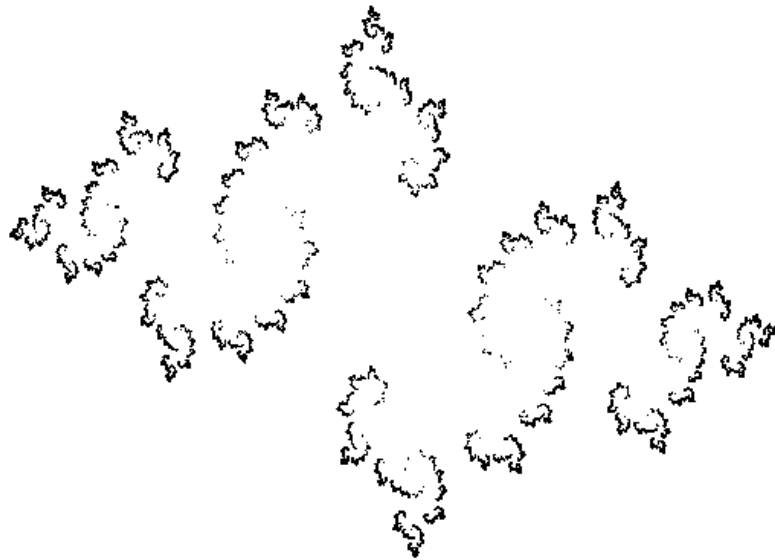


Abbildung 6:  $c = -0.8 + 0.3i$

#### 4.4 Bemerkungen

## 5 Algorithmus Julia Menge

### 5.1 Instabil\Stabil\Indifferent Periodische Punkte

Sei  $f_c$  eine quadratische Funktion und  $z_0$  ein Punkt mit periodischem Orbit und Periodenlänge  $n$ , dann ist dieser Punkt:

1. instabil periodisch, wenn  $|(f_c^n)'(z_0)| > 1$ .
2. stabil periodisch, wenn  $|(f_c^n)'(z_0)| < 1$ .
3. indifferent periodisch, wenn  $|(f_c^n)'(z_0)| = 1$ .

### 5.2 Eigenschaften Stabil\Instabil Periodische Punkte

Sei  $z_0$  ein Punkt mit periodischem Orbit unter  $f_c$  mit Periodenlänge  $n$ , dann existiert eine Scheibe  $D$  der Form  $|z - z_0| < \delta$  um  $z_0$  mit Eigenschaft:

$$(i) z_0 \text{ stabil} \Rightarrow \forall z \in D : f_c(z) \in D, f_c^{nk}(z) \rightarrow z_0 \text{ für } k \rightarrow \infty$$

$$(ii) z_0 \text{ instabil} \Rightarrow \forall z \in D - \{z_0\} \exists k \in \mathbb{N} : f_c^{nk}(z) \notin D$$

### 5.2.1 Bemerkung

### 5.3 Boundary Mapping Principle

Sei  $R \subset \mathbb{C}$  abgeschlossen und  $z_0$  ein innerer Punkt von  $R$ , dann ist  $f_c(z_0)$  ein innerer Punkt von  $f_c(R)$ .

BEWEIS: Da die Eigenschaft translationsinvariant ist, reicht es  $f_0$  zu betrachten. Der Rest folgt durch Anpassung des Beweises aus Abschnitt 3.4.

### 5.4 Cauchy Abschätzung (für Ableitungen)

Sei  $P(z)$  ein komplexes Polynom und  $|P(z)| \leq M$  für alle  $z$  aus der Scheibe  $|z - z_0| \leq r$ , dann gilt:

$$|P'(z)| < \frac{M}{r}$$

BEWEIS: Funktionentheorie 1

## 5.5 Instabile Periodische Punkte liegen in der Julia Menge

Sie  $z_0$  ein instabiler periodischer Punkt zu  $f_c$ , dann  $z_0 \in J_c$ .

### 5.6 Korollar: Urbilder von $z_0$ liegen in der Julia Menge

Sei  $z_0$  ein instabiler periodischer Punkt für  $f_c$  und  $z$  sei ein Urbild von  $z_0$ , dann  $z \in J_c$ .

BEWEIS: Der Beweis folgt direkt aus dem vorigen Satz und dem Boundary Mapping Principle.

### 5.7 Beispiel: $f_i(z) = z^2 + i$

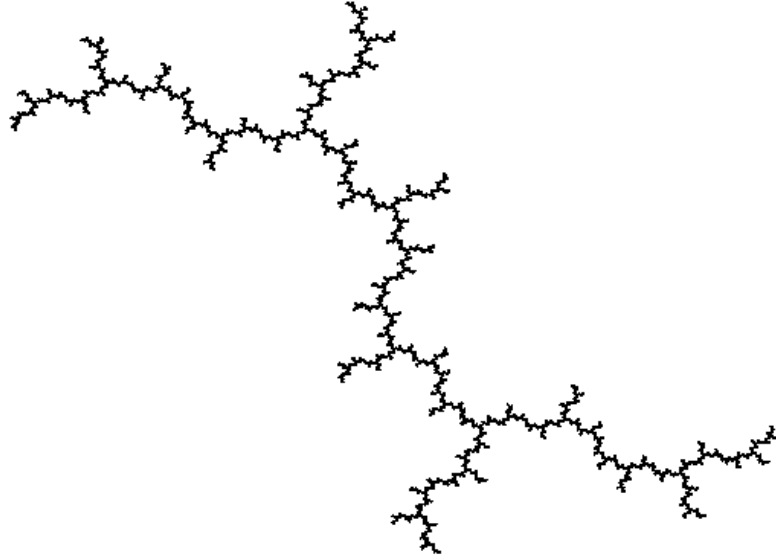


Abbildung 7:  $c = i$



## 5.8 Algorithmus

Der zweite Algorithmus beruht darauf, dass  $J_c$  supersensitiv unter  $f_c$  ist. Wähle ein  $z \in \mathbb{C}$  beliebig bis auf maximal eine Ausnahme und ein Punkt  $z_0 \in J_c$ , dann gibt es wegen der Supersensitivität ein  $w \in U_{z_0}$  und ein  $k \in \mathbb{N}$ , sodass  $f_c^k(w) = z$ . Das bedeuten wir können mit einem beliebigen  $z$  mit einem ausreichend großen  $k$  durch das Urbild  $f_c^{-k}(z)$  beliebig nah an jeden Punkt aus  $J_c$  kommen.

Um nun also Punkte aus  $J_c$  zu bestimmen wählen wir ein  $c \in \mathbb{C}$  und berechnen das "Rückwärts Orbit", da jeder Punkt bis auf  $c$  zwei Mögliche Urbilder ( $\pm\sqrt{z-c}$ ) hat wählen wir in jeden Schritt zufällig eins davon.

Um ein gutes Bild von  $J_c$  zu bekommen, berechnen wir ca. die ersten 10.000 Urbilder und plotten alle bis auf die ersten 100 Punkte.

## 5.9 Beispiele

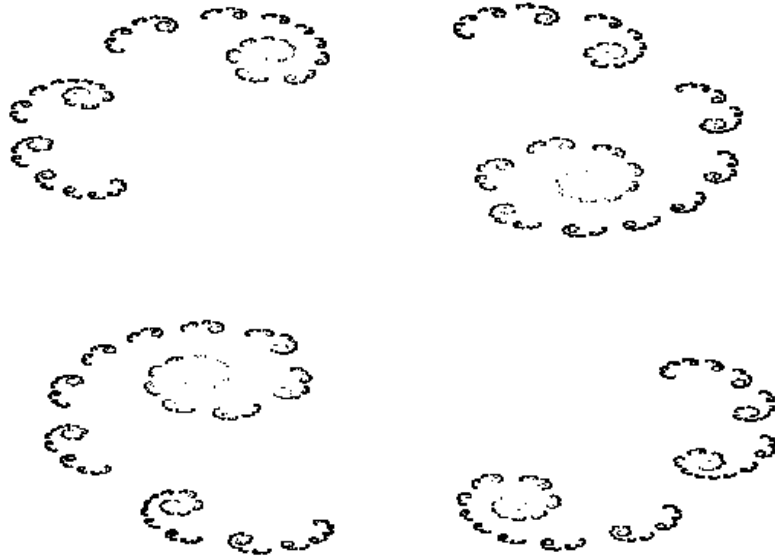


Abbildung 8:  $c = 0.4 + 0.07i$

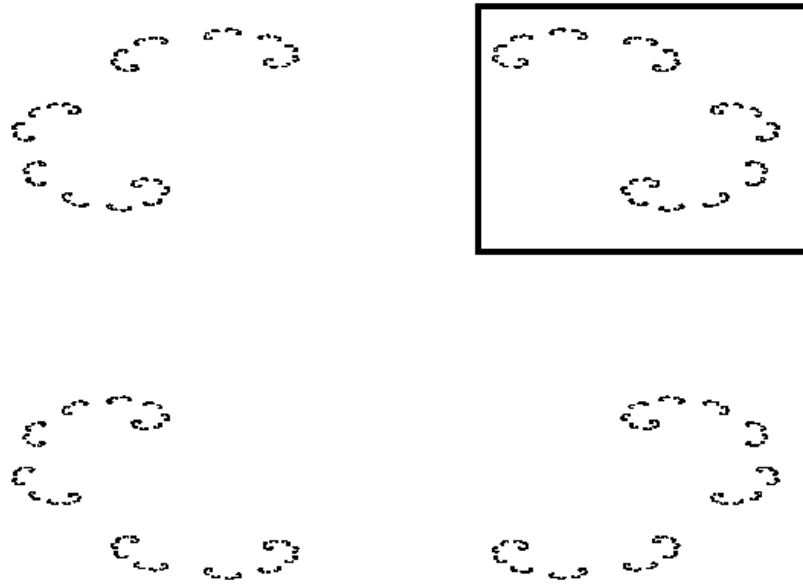


Abbildung 9:  $c = 0.5$

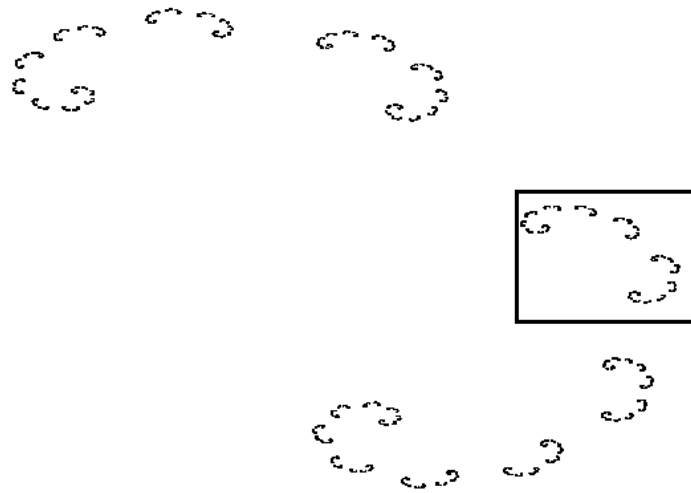


Abbildung 10:  $c = 0.5$

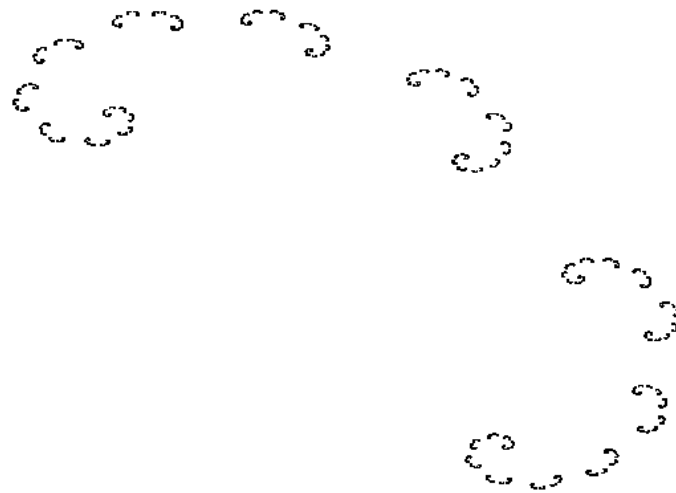


Abbildung 11:  $c = 0.5$

## 6 Selbstähnlichkeit

Mit der Ausnahme von ein paar besonderen Ausnahmen sind alle Formen, die man in einer Julia Menge erkennt unendlich oft zu finden.

### 6.1 Lokal Ähnlich als Holomorphe Bijektion

Wir nennen zwei Punkte  $z, z' \in J_c$  lokal ähnlich, wenn es zwischen den Umgebungen  $U_z$  und  $U_{z'}$  eine holomorphe Bijektion  $\phi$  gibt der mit der Eigenschaft  $\phi(z) = z'$  und  $\phi(U_z \cap J_c) = U_{z'} \cap J_c$ .

### 6.2 Lokal Ähnlich als Ableitung

Für  $z \in J_c - \{0\}$  und  $f'_c(z) \neq 0$  sind  $z, f_c(z)$  lokal ähnlich.  $\Rightarrow$  Alle Punkte  $f_c^{-1}(z), f_c^{-2}(z), f_c^{-3}(z), \dots$  sind lokal ähnlich, wenn  $0 \notin \bigcup_{k \in \mathbb{N}} f_c^{-k}(z)$ .

BEMERKUNG: Die Menge  $\bigcup_{k \in \mathbb{N}} f_c^{-k}(z)$  liegt dicht in  $J_c$ .

### 6.3 Beispiele

Für  $c = i$  und  $c = -2$  ist  $0 \in J_c$ , daher gibt es Punkte, die nicht zu unendlich vielen anderen Punkten lokal ähnlich sind.

Für  $J_{-2} = [-2, 2]$  sind 2 und  $-2$  nicht lokal ähnlich zu anderen Punkten.